

## **ВЛИЯНИЕ ТОЧЕЧНЫХ ДЕФЕКТОВ НА ВНУТРЕННЕЕ ТРЕНИЕ ПРИ ИЗГИБНЫХ КОЛЕБАНИЯХ ВИНТОВОЙ ДИСЛОКАЦИИ В БЕЗДИССИПАТИВНОМ КРИСТАЛЛЕ**

*Дежин В.В.*

*Воронежский государственный технический университет, Воронеж, Россия*

**Ключевые слова:** винтовая дислокация, изгибные колебания, собственные колебания, радиационное торможение, точечные дефекты, обобщенная восприимчивость, внутреннее трение.

**Аннотация.** С учетом влияния короткодействующего упругого взаимодействия винтовой дислокации с цепочками точечных дефектов найдено выражение обобщенной восприимчивости винтовой дислокации, совершающей изгибные колебания в долине рельефа Пайерлса бездиссипативного кристалла. Получено выражение для внутреннего трения в кристалле, вызванного радиационным торможением изгибных колебаний винтовой дислокации. Построены графики частотной зависимости внутреннего трения для конкретного кристалла.

## **INFLUENCE OF POINT DEFECTS ON INTERNAL FRICTION DURING BENDING VIBRATIONS OF SCREW DISLOCATION IN NON-DISSIPATIVE CRYSTAL**

*Dezhin V.V.*

*Voronezh State Technical University, Voronezh, Russia*

**Keywords:** screw dislocation, bending vibrations, natural vibrations, radiation braking, point defects, generalized susceptibility, internal friction.

**Abstract.** Taking into account influence of short-range elastic interaction of screw dislocation with chains of point defects, expression found for generalized susceptibility of screw dislocation performing bending vibrations in the Peierls relief valley of non-dissipative crystal. Expression obtained for internal friction in crystal caused by radiation braking of screw dislocation bending vibrations. Graphs of internal friction frequency dependence for specific crystal were constructed.

**Введение.** Изгибные колебания краевых и винтовых дислокаций исследовались в основном в изотропной сплошной среде [1]. В реальных кристаллах препятствие движению дислокаций оказывают потенциал Пайерлса [2] и точечные дефекты [2, 3]. При колебаниях и ускоренном движении дислокаций возникает сила сопротивления за счет излучения дислокацией упругих волн (радиационное трение) [4]. Эта сила является одной из причин внутреннего трения в кристаллах. При исследовании внутреннего трения [5] упругое взаимодействие дислокаций с точечными дефектами до сих пор не рассматривалось. В связи с этим в данной статье на основе работ [6-8] изучается влияние упругого взаимодействия винтовой дислокации с точечными дефектами на малые изгибные колебания дислокации и радиационное внутреннее трение.

**Вывод расчетных формул.** Проведем ось  $Oz$  вдоль равновесного положения винтовой дислокации и рассмотрим малые изгибные колебания винтовой дислокации в плоскости  $xOz$ . Рассмотрим далее две цепочки точечных дефектов типа «атомы замещения» с линейной плотностью  $c$  вдоль линии дислокации в плоскости  $yOz$  на расстоянии  $d$  от дислокации. При изгибных колебаниях точки дислокации смещаются на расстояние  $\xi(z, t)$  от равновесного положения, причем  $\xi(z, t) \ll d$ , так как рассматриваем малые изгибные колебания в одной долине Пайерлса. Упругое взаимодействие винтовой дислокации с точечными дефектами в изотропном случае является близкодействующим и осуществляется за счет размерного эффекта и модульного эффекта [2, 3]. Учитывая взаимодействие с цепочками точечных дефектов и напряжение Пайерлса аналогично работам [7, 8] в уравнении колебаний винтовой дислокации [6], получим выражение для обратной обобщенной восприимчивости винтовой дислокации:

$$\alpha^{-1}(k_z, \omega) = \pi\sigma_p + \frac{\mu_1\Omega_1cb^2}{2\pi^2d^4} \left[ \frac{1-\nu}{1-2\nu}(\Omega_2/\Omega_1-1) - (\mu_2/\mu_1-1) \right] - \frac{\mu_1b^2}{8\pi} \left[ -k_z^2 + \left( \frac{\omega^2}{s_t^2} - 3k_z^2 \right) \ln \frac{k_m^2}{k_z^2 - \omega^2/s_t^2} + 4\gamma k_z^2 \ln \frac{k_m^2}{k_z^2 - \omega^2/s_l^2} - 4 \frac{k_z^4 s_t^2}{\omega^2} \ln \frac{k_z^2 - \omega^2/s_t^2}{k_z^2 - \omega^2/s_l^2} \right]. \quad (1)$$

Здесь  $k_z$  – компонента волнового вектора вдоль линии дислокации,  $\omega$  – частота изгибных колебаний винтовой дислокации,  $\sigma_p$  – напряжение Пайерлса кристалла-растворителя,  $\mu_1$  – модуль сдвига растворителя,  $\Omega_1$  – объем атома растворителя,  $b$  – длина вектора Бюргера винтовой дислокации,  $\nu$  – коэффициент Пуассона растворителя,  $\Omega_2$  – объем атома замещения,  $\mu_2$  – модуль сдвига кристалла атомов замещения,  $s_t$  и  $s_l$  – скорости поперечных и продольных звуковых волн в растворителе,  $k_m$  – максимальное волновое число,  $\gamma = s_t^2/s_l^2$ .

Рассмотрим два возможных случая излучения упругих волн колеблющейся дислокацией (появление мнимой части в выражении (1)). В случае  $|k_z| < \omega/s_l$  аналогично [8] получим для внутреннего трения:

$$Q_1^{-1} = 8\pi^2 \rho_d \theta \left[ \frac{\omega^2}{s_t^2} - (3-4\gamma)k_z^2 \right] \left\{ \left[ -8\pi^2 \frac{\sigma_p}{\mu_1 b^2} - 4 \frac{\Omega_1 c}{\pi d^4} \left[ \frac{1-\nu}{1-2\nu} \left( \frac{\Omega_2}{\Omega_1} - 1 \right) - \left( \frac{\mu_2}{\mu_1} - 1 \right) \right] - k_z^2 + \left( \frac{\omega^2}{s_t^2} - 3k_z^2 \right) \ln \frac{k_m^2}{\omega^2/s_t^2 - k_z^2} + 4\gamma k_z^2 \ln \frac{k_m^2}{\omega^2/s_l^2 - k_z^2} - 4 \frac{k_z^4 s_t^2}{\omega^2} \ln \frac{\omega^2/s_t^2 - k_z^2}{\omega^2/s_l^2 - k_z^2} \right]^2 + \pi^2 \left[ \frac{\omega^2}{s_t^2} - (3-4\gamma)k_z^2 \right]^2 \right\}^{-1}, \quad (2)$$

где  $\rho_d$  – плотность винтовых дислокаций,  $\theta$  – ориентационный фактор винтовых дислокаций. В случае  $\omega/s_l < |k_z| < \omega/s_t$  получим:

$$\begin{aligned}
Q_2^{-1} = & 8\pi^2 \rho_d \theta \left[ \frac{\omega^2}{s_t^2} - 3k_z^2 + 4 \frac{k_z^4 s_t^2}{\omega^2} \right] \left( \left\{ -8\pi^2 \frac{\sigma_p}{\mu_1 b^2} - 4 \frac{\Omega_1 c}{\pi d^4} \left[ \frac{1-\nu}{1-2\nu} \left( \frac{\Omega_2}{\Omega_1} - 1 \right) - \left( \frac{\mu_2}{\mu_1} - 1 \right) \right] - \right. \right. \\
& -k_z^2 + \left. \left( \frac{\omega^2}{s_t^2} - 3k_z^2 \right) \ln \frac{k_m^2}{\omega^2/s_t^2 - k_z^2} + 4\gamma k_z^2 \ln \frac{k_m^2}{k_z^2 - \omega^2/s_t^2} - 4 \frac{k_z^4 s_t^2}{\omega^2} \ln \frac{\omega^2/s_t^2 - k_z^2}{k_z^2 - \omega^2/s_t^2} \right\}^2 + \\
& \left. + \pi^2 \left[ \frac{\omega^2}{s_t^2} - 3k_z^2 + 4 \frac{k_z^4 s_t^2}{\omega^2} \right]^2 \right)^{-1}. \quad (3)
\end{aligned}$$

Частоту собственных колебаний винтовой дислокации для различных значений  $k_z$  находим из решения дисперсионного уравнения

$$\begin{aligned}
\text{Re } \alpha^{-1}(k_z, \omega) = & \pi \sigma_p + \frac{\mu_1 \Omega_1 c b^2}{2\pi^2 d^4} \left[ \frac{1-\nu}{1-2\nu} \left( \frac{\Omega_2}{\Omega_1} - 1 \right) - \left( \frac{\mu_2}{\mu_1} - 1 \right) \right] - \frac{\mu_1 b^2}{8\pi} \left[ 4\gamma k_z^2 \ln \frac{k_m^2}{|k_z^2 - \omega^2/s_t^2|} - \right. \\
& \left. -k_z^2 + \left( \frac{\omega^2}{s_t^2} - 3k_z^2 \right) \ln \frac{k_m^2}{|k_z^2 - \omega^2/s_t^2|} - 4 \frac{k_z^4 s_t^2}{\omega^2} \ln \frac{k_z^2 - \omega^2/s_t^2}{|k_z^2 - \omega^2/s_t^2|} \right] = 0. \quad (4)
\end{aligned}$$

**Материал для вычислительного эксперимента.** Проведем вычисления согласно полученным формулам (2-4) для кристалла меди, легированного алюминием. Кристаллы меди и алюминия имеют ГЦК решетку, кристалл меди является растворителем, атомы алюминия являются атомами замещения. Для кристалла алюминия:  $\Omega_2 = 1.66 \cdot 10^{-29} \text{ м}^3$ ,  $\mu_2 = 2.65 \cdot 10^{10} \text{ Па}$ . Данные для кристалла меди:  $\Omega_1 = 1.18 \cdot 10^{-29} \text{ м}^3$ , параметр решетки  $a = 3.615 \cdot 10^{-10} \text{ м}$ ,  $\mathbf{b} = (a/2)[110]$ ,  $b = 2.556 \cdot 10^{-10} \text{ м}$ ,  $\mu_1 = 4.61 \cdot 10^{10} \text{ Па}$ ,  $\nu = 0.35$ ,  $s_t = 2270 \text{ м/с}$ ,  $s_l = 5010 \text{ м/с}$  [9],  $\sigma_p/\mu_1 = 5 \cdot 10^{-4}$  [2]. Выбор кристалла меди в качестве растворителя и атомов алюминия в качестве точечных дефектов обусловлен условием решаемой задачи – точечные дефекты должны притягиваться к винтовой дислокации. Это осуществляется в случае  $\Omega_2 > \Omega_1$  и  $\mu_2 < \mu_1$  [3], что и выполняется для выбранных материалов.

**Результаты и обсуждение.** По формулам (2) и (3), принимая значения  $k_m = 10^{10} \text{ м}^{-1}$ ,  $\rho_d = 10^{10} \text{ м}^{-2}$ ,  $\theta = 0.5$ , построим графики частотной зависимости внутреннего трения  $Q^{-1}(\omega)$  для  $|k_z| < \omega/s_l$  (рис. 1,а) и  $\omega/s_l < |k_z| < \omega/s_t$  (рис. 1, б) при различных значениях  $d$  и  $c$ . Находим частоты  $\omega_m$ , соответствующие максимумам внутреннего трения на кривых 1-4 (рис. 1), и частоты  $\omega_0$  собственных изгибных колебаний винтовой дислокации из решения дисперсионного уравнения (4) при  $k_z = 10^3 \text{ м}^{-1}$  и  $k_z = 10^{8.5} \text{ м}^{-1}$  для различных значений  $d$  и  $c$  (табл. 1).

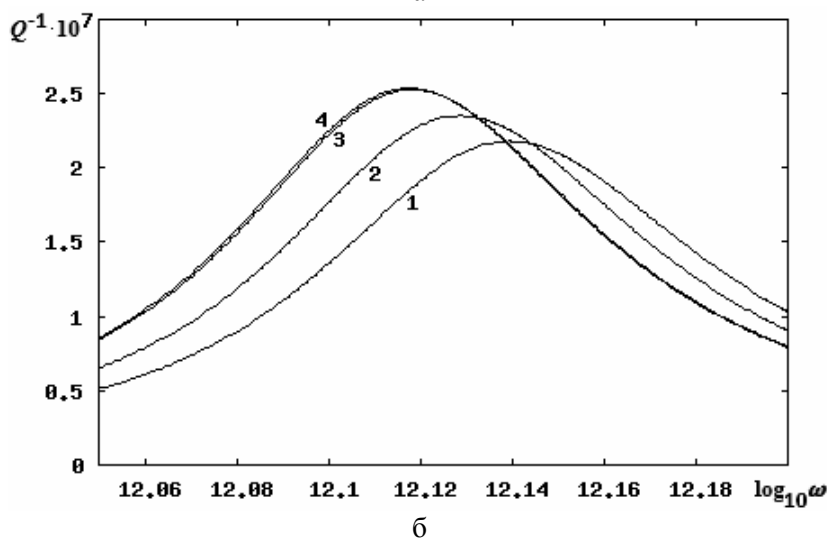
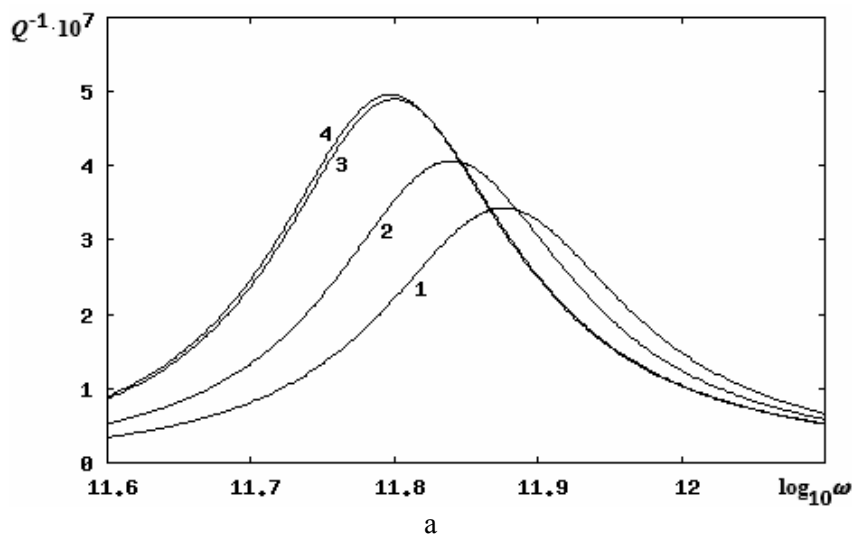


Рис. 1. График  $Q^{-1}(\omega)$  при  $k_z = 10^3 \text{ м}^{-1}$  (а) и  $k_z = 10^{8.5} \text{ м}^{-1}$  (б);  
 1 –  $d = a = 3.615 \cdot 10^{-10} \text{ м}$ ,  $c = 2 \cdot 10^8 \text{ м}^{-1}$ ; 2 –  $d = 3.615 \cdot 10^{-10} \text{ м}$ ,  $c = 10^8 \text{ м}^{-1}$ ;  
 3 –  $d = 2a = 7.23 \cdot 10^{-10} \text{ м}$ ,  $c = 10^8 \text{ м}^{-1}$ ; 4 –  $d = 7.23 \cdot 10^{-10} \text{ м}$ ,  $c = 10^7 \text{ м}^{-1}$

Табл. 1. Значения частот  $\omega_m$  и  $\omega_0$  для различных  $k_z, d$  и  $c$

$d, \text{ м}$	$c, \text{ м}^{-1}$	$k_z = 10^3 \text{ м}^{-1}$		$k_z = 10^{8.5} \text{ м}^{-1}$	
		$\omega_m, \text{ Гц}$	$\omega_0, \text{ Гц}$	$\omega_m, \text{ Гц}$	$\omega_0, \text{ Гц}$
$3.615 \cdot 10^{-10}$	$2 \cdot 10^8$	$7.513 \cdot 10^{11}$	$8.013 \cdot 10^{11}$	$1.376 \cdot 10^{12}$	$1.412 \cdot 10^{12}$
$3.615 \cdot 10^{-10}$	$10^8$	$6.920 \cdot 10^{11}$	$7.350 \cdot 10^{11}$	$1.346 \cdot 10^{12}$	$1.375 \cdot 10^{12}$
$7.23 \cdot 10^{-10}$	$10^8$	$6.302 \cdot 10^{11}$	$6.685 \cdot 10^{11}$	$1.312 \cdot 10^{12}$	$1.340 \cdot 10^{12}$
$7.23 \cdot 10^{-10}$	$10^7$	$6.265 \cdot 10^{11}$	$6.640 \cdot 10^{11}$	$1.311 \cdot 10^{12}$	$1.338 \cdot 10^{12}$

Малая величина относительной разницы  $\omega_0 - \omega_m$  объясняется малой величиной радиационного торможения и свидетельствует о резонансном типе пиков внутреннего трения на рисунке 1. При рассмотрении кривых 1 → 4 видно, что высота максимумов внутреннего трения возрастает и максимумы сдвигаются влево по частоте. Это объясняется уменьшением взаимодействия винтовой дислокации с точечными дефектами. Точечные дефекты, расположенные в плоскости  $yOz$ , притягивают к себе винтовую дислокацию и пытаются вернуть ее в положение равновесия. С уменьшением взаимодействия винтовой дислокации с точечными дефектами снижается эффективная жесткость винтовой дислокации. В результате уменьшается частота собственных изгибных колебаний винтовой дислокации. При этом увеличивается амплитуда колебаний винтовой дислокации, а значит, увеличивается излучаемая энергия за период колебаний. Это объясняет возрастание высоты максимумом кривых внутреннего трения. Кривые 3 и 4 практически сливаются, поскольку влияние точечных дефектов становится незначительным по сравнению с влиянием барьера Пайерлса. Столь быстрое снижение влияния точечных дефектов является следствием короткодействующего взаимодействия винтовой дислокации с точечными дефектами в изотропном случае.

**Выводы.** В результате исследования влияния точечных дефектов на внутреннее трение за счет радиационного затухания изгибных колебаний винтовой дислокации установлено: с увеличением расстояния между винтовой дислокацией и точечными дефектами и уменьшением линейной плотности точечных дефектов частота собственных изгибных колебаний винтовой дислокации уменьшается, высота максимумов внутреннего трения возрастает, и максимумы смещаются по частоте влево; пики внутреннего трения являются пиками резонансного типа; при выбранной схеме расположения точечные дефекты усиливают влияние барьера Пайерлса и эффективная жесткость винтовой дислокации увеличивается.

Эти результаты могут быть использованы для дальнейшего развития теории внутреннего трения, а также для лучшего понимания процессов в металлах при вибрационных воздействиях.

#### Список литературы

1. Косевич А.М. Физическая механика реальных кристаллов. – Киев: Наукова думка, 1981. – 328 с.
2. Судзуки Т., Есинага Х., Такеути С. Динамика дислокаций и пластичность. – М.: Мир, 1989. – 296 с.
3. Nabarro F.R.N. Solution and precipitation hardening // The physics of metals. – Cambridge: Cambridge University Press, 1975. – P. 152-188.
4. Нацик В.Д. Радиационное торможение дислокационных петель // Физика твердого тела. – 1966. – Т. 8, № 7. – С. 2244-2246.
5. Blanter M.S., Golovin I.S., Neuhäuser H., Sinning H.-R. Internal friction in metallic materials. – Berlin: Springer-Verlag, 2007. – 539 p.

6. Батаронов И.Л., Дежин В.В., Рошчупкин А.М. Влияние центров пиннинга и рельефа Пайерлса на обобщенную восприимчивость дислокаций в реальных кристаллах // Известия РАН. Серия физическая. – 1993. – Т. 57, № 11. – С. 97-105.
7. Батаронов И.Л., Дежин В.В. Обобщенная восприимчивость и колебания дислокации в рельефе Пайерлса // Фундаментальные проблемы современного материаловедения. – 2018. – Т. 15, № 4. – С. 500-505.
8. Дежин В.В. Собственные колебания прямолинейной краевой дислокации и дислокационное внутреннее трение в бездиссипативном кристалле при взаимодействии с точечными дефектами // Фундаментальные основы механики. – 2023. – № 12. – С. 101-105.
9. CRC Handbook of chemistry and physics / Edited by W.M. Haynes. – Boca Raton: Taylor & Francis, 2014. – 2663 p.

### References

1. Kosevich A.M. Physical mechanics of real crystals. – Kyiv: Naukova Dumka, 1981. – 328 p.
2. Suzuki T., Takeuchi S., Yoshinaga H. Dislocation dynamics and plasticity. – Berlin: Springer-Verlag, 1991. – 228 p.
3. Nabarro F.R.N. Solution and precipitation hardening // The physics of metals. – Cambridge: Cambridge University Press, 1975. – P. 152-188.
4. Natsik V.D. Radiation braking of dislocation loops // Soviet Physics Solid State. 1967, vol. 8, pp. 1786-1788.
5. Blanter M.S., Golovin I.S., Neuhäuser H., Sinning H.-R. Internal friction in metallic materials. – Berlin: Springer-Verlag, 2007. – 539 p.
6. Bataronov I.L., Dezhin V.V., Roshchupkin A.M. Effect of pinning centers and Peierls relief on generalized susceptibility of dislocations in real crystals // Bulletin of the Russian Academy of Sciences: Physics. 1993, vol. 57, pp. 1947-1955.
7. Bataronov I.L., Dezhin V.V. Generalized susceptibility and dislocation oscillations in the Peierls relief // Fundamental problems of modern materials science. 2018, vol. 15, no. 4, pp. 500-505.
8. Dezhin V.V. Natural oscillations of rectilinear edge dislocation and dislocation internal friction in non-dissipative crystal upon interaction with point defects // Fundamental principles of mechanics. 2023, no. 12, pp. 101-105.
9. CRC Handbook of chemistry and physics / Edited by W.M. Haynes. – Boca Raton: Taylor & Francis, 2014. – 2663 p.

**Дежин Виктор Владимирович** – кандидат физико-математических наук, доцент

**Dezhin Viktor Vladimirovich** – candidate of physical and mathematical sciences, associate professor

viktor.dezhin@mail.ru

*Received 20.12.2023*